

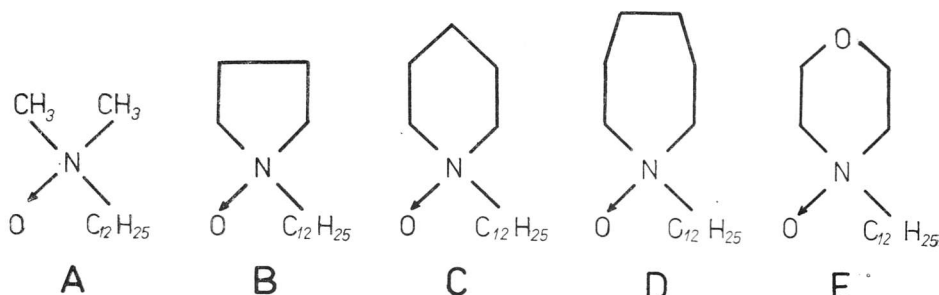
# Vplyv heterocyklických N-alkylamínoxidov na rast a metabolizmus mikrobálnych buniek

J. ŠUBÍK — G. TAKÁCSOVÁ

Amínoxidy predstavujú veľkú skupinu chemických zlúčenín odvodených od terciálnych amínov obsahujúcich silne polarizovanú  $N\rightarrow O$  väzbu [1—3]. Mnohé amínoxidy vyskytujúce sa v prírode alebo chemicky syntetizované, sú známe ako antimetabolity, chemoterapeutiká, psychotropné a kancerostatické látky. Niektoré amínoxidy sú mutagénne a kancerogénne [1—6].

*N*-alkylderiváty nasýtených heterocyklických amínoxidov predstavujú biodegradabilné neionogénne amififily, ktoré sa dobre rozpúšťajú vo vodných i nevodných rozpúšťadlach [7]. Na rozdiel od štruktúrne podobných amínov a kvartérnych amóniových solí sú odpovedajúce amínoxidy menej toxicke [8, 9]. Málo pozornosti sa však dosiaľ venovalo ich antimikróbnej aktivite a mechanizmu účinku.

V tejto práci sme sa venovali štúdiu antimikróbnej aktivity, spôsobu biochemického účinku, ako aj vzájomným vzťahom štruktúry a aktivity nasýtených heterocyklických *N*-alkylamínoxidov (obr. 1).



Obr. 1. Štruktúra amínoxidov. A — *N,N*-dimetyldodecylamín-N-oxid, B — 1-dodecylpyrrolidín-N-oxid, C — 1-dodecylpiperidín-N-oxid, D — 1-dodecylperhydroazepín-N-oxid, E — dodecylmorpholin-N-oxid.

## Materiál a metódy

### 1. Použité mikroorganizmy

V práci sa použili tieto kmene baktérií:

*Bacillus cereus* NCIB 8122, *Bacillus subtilis*, *Streptococcus faecalis*, *Leuconostoc mesenteroides*, *Escherichia coli*, *Proteus vulgaris* a *Salmonella typhimurium* TA 100.

Z vláknitých húb sa použili tieto kmene: *Aspergillus niger*, *A. oryzae*, *Penicillium italicum*, *P. cyclopium*, *P. brevicompactum*, *Mucor mucedo*, *M. racemosus*, *Botrytis cinerea*, *Neurospora crossa*, *Rhizopus oryzae*, *R. nigricans* a *Paecilomyces varioti*.

Z kvasiniek sme použili diploidný laboratórny kmeň *Saccharomyces cerevisiae* HANSEN DT XII.

### 2. Kultivačné podmienky

Bunky baktérií *B. cereus* rástli v tekutom baktopeptónovom médiu pri 30 °C z tepelne aktivovaného (65 °C/15 min) spórového inokula (začiatocná koncentrácia  $10^8$  spór/ml). Jeden liter média obsahoval: 1 g baktopeptónu, 1 g glukózy, 0,1 g Tween 80, 0,5 g  $\text{KH}_2\text{PO}_4$ , 17,4 mg  $\text{K}_2\text{SO}_4$ , 12,3 mg  $\text{MgSO}_4 \cdot 7 \text{H}_2\text{O}$ , 0,22 mg  $\text{MnSO}_4 \cdot 7 \text{H}_2\text{O}$ , 3 mg  $\text{FeSO}_4$ , 1,44 mg  $\text{ZnSO}_4 \cdot 7 \text{H}_2\text{O}$ , konečné pH 7,2.

Klúčenie spór a rast baktérií sme sledovali Langeho kolorimetrom pri 700 nm, ako aj priamym počítaním spór pod mikroskopom po strate svetlološnosti.

Kvasinky rástli pri 30 °C v semisyntetickom médiu, obsahujúcom v 1 litri: 20 g glukózy, 5 g peptónu, 5 g kvasnicového extraktu, 100 g adenínu a zmes minerálnych solí: 1 g  $\text{KH}_2\text{PO}_4$ , 0,5 g  $\text{MgSO}_4 \cdot 7 \text{H}_2\text{O}$ , 0,5 g KCl, 1,2 g  $(\text{NH}_4)_2\text{SO}_4$ , 2 g  $\text{NaNO}_3$  a 10 mg  $\text{FeSO}_4 \cdot 7 \text{H}_2\text{O}$ .

Rast sa sledoval počítaním buniek v Bürkerovej komôrke pod mikroskopom.

### 3. Tvorba spór vláknitých húb

Pre tvorbu spór sme Petriho misky obsahujúce Sabouraudov agar inokulovali malým kúskom mycélia alebo spórami zo zásob kultúry. Po 7 dňoch rastu pri 30 °C sme do Petriho misky pridali dostatočné množstvo sterilnej vody, potrebnej na ponorenie mycélia, povrch mycélia sme premiešali sklenenou tyčinkou a suspenziu prečistili cez vatu. Za sterilných podmienok sme spóry premýli destilovanou vodou, stanovila sa ich koncentrácia počítaním v Bürkerovej komôrke pod mikroskopom a použili sa na inokuláciu.

### 4. Určenie priemeru inhibičných zón

Stekutenú agarovú semisyntetickú alebo minimálnu pôdu sme inokulovali vegetatívnymi bunkami baktérií na konečnú koncentráciu  $10^6$  buniek/Petriho misku. Po stuhnutí pôdy sme na jej povrch pridali inhibítory a priemer zóny inhibície sme merali po 24, resp. 72 hodinách rastu pri 37 °C.

Minimálne médium obsahovalo v 1 litri 20 g glukózy, 50 mg histidínu, zmes anorganických solí ako v semisyntetickom médiu a zmes vitamínov vytvorenú z 10 mg inozitolu, 1 mg tiamín-HCl, 600 µg pyridoxínu-HCl, 600 µg kyseliny nikotínovej, 600 µg kyseliny *p*-aminobenzoovej, 600 µg pantotenánu vápenatého, 10 µg biotínu a 200 µg riboflavínu.

### 5. Germinačný test

Germinačný test sme robili pri 30 °C v 100 ml Erlenmayerových bankách obsahujúcich 10 ml semisyntetického média s 2 % glukózou, spóry plesní ( $10^6/ml$ ) a inhibítora v udanej koncentráции. Klíčivosť spór sme sledovali mikroskopicky.

### 6. Určenie životaschopnosti buniek

Bunky baktérií, kvasiniek a spór plesní po interakcii s inhibítormi v čase uvedenom vo výsledkoch sme premyli a vysiali na pevné semisyntetické médium s 2 % glukózou. Po inkubácii pri 30 °C sme v porovnaní s kontrolou stanovili počet vyrastených baktérií, kvasiniek a vyklíčených konídí. Rast a klíčivosť sme sledovali 3 až 12 dní.

### 7. Určenie respiračnej rýchlosťi celých buniek

Spotreba kyslíka premytých buniek sa stanovila polarograficky vibračnou zlatou elektródou v reakčnej zmesi obsahujúcej v 2 ml: 50 mM glutarát draselný, 10 mM  $KH_2PO_4$ , 100 mM KCl, 0,25 % glukózu, 0,48 % etanol, bunky kvasiniek (1—4 mg sušiny) a inhibítora, konečné pH 4,3.

### 8. Príprava protoplastov a izolácia mitochondrií kvasiniek

Bunky (1 g sušiny) sme suspendovali v 20 ml 0,5 M merkaptoetanolu, do ktorého sme pridali 0,1 M Tris-HCl pH 9,3 a inkubovali 5 min pri 30 °C. Suspenziu sme centrifugovali 5 min pri 1500 g, bunky premyli 10 ml 1,5 M sorbitolu a 1 mM EDTA v 10 mM citrátovo-fosfátovom tlmivom roztoku pH 5,8 a napokon suspendovali v tom istom médiu na konečný objem 10 ml. Ďalej sme pridali 300 mg lyofilizovaného enzymového výtažku zo žalúdkov slimákov, suspendovaného v minimálnom objeme inkubačného média a suspenziu sme inkubovali pri 30 °C za občasného miešania. Tvorbu protoplastov sme sledovali diferenciálnym počítaním vzoriek riedených vodou, resp. 1,5 M sorbitolom. Po vytvorení protoplastov sme suspenziu centrifugovali (10 min pri 1000 g) a protoplasty trikrát premyli 1,2 M sorbitolom v 2 mM EDTA pH 7,0 obsahujúcim ešte 0,1 % sérumalbumínu a centrifugovali vždy pri 1600 g 10 min.

Pre izoláciu mitochondrií sme protoplasty (z 1 g sušiny) buniek kvasiniek suspendovali v minimálnom objeme 1,2 M sorbitolu v 2 mM EDTA a zmiešali s 10 ml 0,6 M sorbitolu v 1 mM EDTA pH 7,0. Suspenziu sme homogenizovali 8 s v ocelovom homogenizátore a potom centrifugovali pri 1500 g 10 min. Mitochondrie zo supernatantu sme izolovali centrifugáciou pri 8000 g 10 minút a suspendovali v 4 ml homogenizačného média. Suspenziu sme centrifugovali 5 min pri 1200 g, aby sa odstránili kontaminujúce nerozbíté protoplasty alebo

zvyšky bunkových stien. Mitochondrie sme sedimentovali zo supernatantu centrifugáciou pri 18 000 g 12 min. Povrch sedimentu sme jemne premyli malým množstvom 0,8 M manitolu pH 7,0, do ktorého sa mitochondrie nákonec resuspendovali.

#### 9. Detekcia lýzy protoplastov

Lýzu protoplastov kvasiniek, indukovanú amínoxidmi sme merali sledovaním poklesu optickej hustoty suspenzie protoplastov v médiu obsahujúcim 1,35 M sorbitolu, 1 mM EDTA a  $10-40 \cdot 10^6$  protoplastov/ml. Konečné pH 7,0, teplota 25 °C.

#### 10. Stanovenie rýchlosťi kvasenia

Anaeróbnu glykolýzu kvasinkových buniek v dusíkovej atmosfére sme stanovili konvenčnou manometrickou technikou pri 30 °C v 80 mM citrátovo-fosfátovom tlmivom roztoku pH 4,3, obsahujúcim 50 mM glukózu, bunky kvasiniek (0,7 mg sušiny) a inhibítora, ako je udané.

#### 11. Stanovenie respiračnej rýchlosťi izolovaných mitochondrií

Spotrebú kyslíka sme merali polarograficky pri 30 °C v reakčnom médiu, ktorého 2 ml obsahovali 0,6 M manitolu, 20 mM KCl, 1,5 mM EDTA, 10 mM Tris-maleátu, 10 mM fosforečnanu draselného, 0,25 mM ADP, mitochondrie (1—3 mg bielkovín), substrát a inhibítora, ako je udané. Konečné pH 6,4.

#### 12. Detekcia uvoľneného draslíka

Bunky kvasiniek (8,5 mg sušiny) vyrastených do stacionárnej fázy sme premyli trikrát deionizovanou vodou a predinkubovali 15 min v 10 ml 20 mM glukózy. Po 10, resp. 20 min od pridania 4-dodecylmorfolín-N-oxudu sme vzorky centrifugovali a supernatant analyzovali na obsah K<sup>+</sup>. Bunky sme premyli demineralizovanou vodou, suspendovali v demineralizovanej vode a varili vo vode 20 min. Po centrifugácii sme zmerali K<sup>+</sup> v bunkovom extrakte. K<sup>+</sup> sme určili plameňovým fotometrom použijúc KCl ako štandard.

#### 13. Detekcia uvoľneného materiálu absorbujúceho ultrafialové lúče

Premyté bunky kvasiniek ( $2 \cdot 10^6$  buniek/ml) sme inkubovali pri 30 °C v prítomnosti rozličných koncentrácií amínoxidov. V určenom čase sme 2 ml suspenzie odcentrifugovali 10 min pri 1600 g a množstvo materiálu absorbujúceho v ultrafialovej oblasti v supernatante sme stanovili spektrofotometricky pri 280 nm.

#### 14. Stanovenie enzýmových aktivít

Aktivity glykolytických enzýmov sme určili spektrofotometricky pri 366 nm [11].

Aktivitu ATPázy sme merali 6 min pri 30 °C v 1 ml reakčnej zmesi obsahujúcej 10 mM KCl, 0,5 mM EDTA, 50 mM Tris-HCl, 2 mM MgCl<sub>2</sub>, 4 mM ATP, 0,1 mg mitochondriálnych bielkovín a inhibítora, ako je udané. Konečné pH 9,5.

### 15. Stanovenie bielkovín

Mitochondriálne bielkoviny sme stanovili biuretom [12] po predchádzajúcim vyzrážaní bielkovín 0,5 N HClO<sub>4</sub>, čím sme odstránili sacharidy interferujúce s analýzou.

### 16. Stanovenie anorganického fosfátu

Anorganický fosfát sme stanovili metódou podľa Sumnera [13].

### 17. Chemikálie

Amínoxidy (čistota 98,0—99,8 %) pripravili z odpovedajúcich terciálnych amínov oxidáciou s vodným roztokom peroxidu vodíka F. Devínsky a I. Lacko (Farmaceutická fakulta Univerzity Komenského, Bratislava).

Oligomycín a N, N, N', N'-tetrametyl-p-fenyléndiamín (TMPD) boli výrobky firmy Serva (Heidelberg, NSR), glykolytické enzýmy firmy Boehringer (Mannheim, NSR) a ostatné chemikálie firmy Lachema (Brno).

## Výsledky

### 1. Antibakteriálna a antifungálna aktivita 4-dodecylmorfolín-N-oxida

Na štúdium spôsobu účinku nasýtených heterocyklických alkylamínoxidov za reprezentatívnu zlúčeninu sme vybrali 4-dodecylmorfolín-N-oxid. Vplyv tohto amínoxidu na rast a metabolizmus mikroorganizmov kontaminujúcich potravinárske suroviny a výrobky [14] sme študovali pomocou prokaryotických, ako aj eukaryotických typov buniek.

Tabuľka 1 demonštruje schopnosť 4-dodecylmorfolín-N-oxida inhibovať rast buniek rozličných druhov baktérií (grampozitívnych, gramnegatívnych, sporulujúcich, nesporulujúcich) na povrchu agarových médií. Ukázalo sa, že antibakteriálna účinnosť amínoxidu na minimálnom médiu je relatívne vyššia ako na semisyntetickom médiu. To pravdepodobne súvisí s adsorbciou inhibítora na komponenty kvasnicového extraktu alebo peptónu v semisyntetickom médiu. Z testovaných baktérií boli na inhibičný účinok 4-dodecylmorfolín-N-oxida najcitlivejšie grampozitívne bunky *Streptococcus faecalis*.

Vplyv 4-dodecylmorfolín-N-oxida na klíčenie, postgerminačný vývoj a prežitie sme sledovali iba v prípade spór *Bacillus cereus*. Zistili sme, že pri vzrástajúcich koncentráciách amínoxidu (0,5, 1,0 a 2,0 mM) sa rýchlosť klíčenia spór v tekutom glukózovom médiu znížovala, pričom sa celkové percento nevyklíčených spór zvyšovalo. Vegetatívne bunky dvojhodinovú interakciu 4-dodecylmorfolín-N-oxidom (2 mM) neprežili. Na druhej strane životaschopnosť nevyklíčených spór *B. cereus* sa po 5-hodinovom účinku amínoxidu nezmenila.

Tabuľka 1. Inhibícia rastu baktérií 4-dodecylmorpholín-N-oxidom (300 µg) po 72-hod. rastu pri 37 °C

Mikroorganizmus	Minimálne médium	Semisyntetické médium
	(Priemer zóny inhibície /mm/)	
<i>Bacillus cereus</i>	16	17
<i>Bacillus subtilis</i>	18	9
<i>Streptococcus faecalis</i>	37	29
<i>Leuconostoc mesenteroides</i>	18	10
<i>Escherichia coli</i>	N. T.	15
<i>Proteus vulgaris</i>	18	10
<i>Salmonella typhimurium</i>	12	N. T.

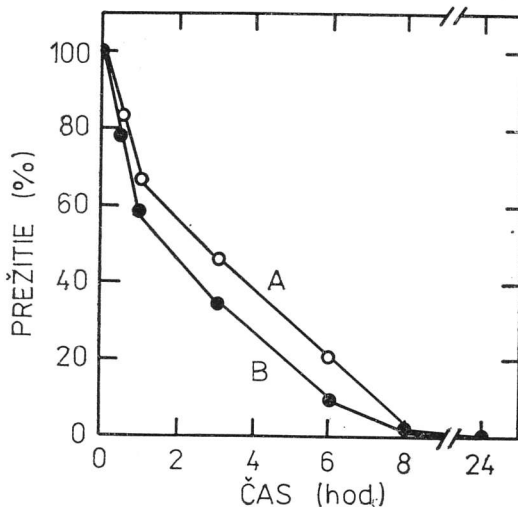
N. T. — netestované

Podobne tak rast bakteriálnych buniek, ako aj rast vláknitých hub bol inhibovaný účinkom 4-dodecylmorpholín-N-oxidu. Amínoxid (300 µg) pridaný na povrch pevného Sabouraudovho média v Petriho miskách obsahujúcich spóry inhiboval rast viacerých testovaných plesní. Vo všetkých prípadoch sa inhibícia rastu prejavila hladkou a priesvitnou agarovou zónou priemeru 7—17 mm. Najcitlivejšie na inhibičný účinok 4-dodecylmorpholín-N-oxidu boli *Botrytis cinerea* a *Paecilomyces varioti* (tab. 2).

Tabuľka 2. Inhibícia rastu vláknitých hub 4-dodecylmorpholín-N-oxidom (300 µg) po dvoch týždňoch rastu pri 30 °C

Mikroorganizmus	Priemer zóny inhibície (mm)
<i>Aspergillus niger</i>	7
<i>Aspergillus oryzae</i>	12
<i>Penicillium italicum</i>	8
<i>Penicillium roqueforti</i>	11
<i>Penicillium cyclopium</i>	8
<i>Penicillium brevi-compactum</i>	12
<i>Mucor mucedo</i>	13
<i>Mucor racemosus</i>	11
<i>Botrytis cinerea</i>	17
<i>Neurospora crossa</i>	8
<i>Paecilomyces varioti</i>	16
<i>Rhizopus oryzae</i>	10
<i>Rhizopus nigricans</i>	7

Vplyv 4-dodecylmorpholín-N-oxidu na klíčenie a prežitie spór plesní sme testovali s *Aspergillus niger* a *Penicillium italicum*. V tekutom semisyntetickom médiu, do ktorého sme pridali 1 mM 4-dodecylmorpholín-N-oxidu, konídie týchto plesní neboli schopné vyklíčiť a ich životnosť klesala s časom interakcie (obr. 2). Za podmienok zabraňujúcich rastu (spóry suspendované vo vode)



Obr. 2. Strata životaschopnosti konídií plesní po interakcii s 1 mM 4-dodecylmorpholin-N-oxidom. A — *Aspergillus niger*, B — *Penicillium italicum*.

bolo prežitie zasiahnutých spór trochu vyššie, ale po 24-hodinovej interakcii vplyv amínoxidu bol opäť fungicídny (1 % prežitia).

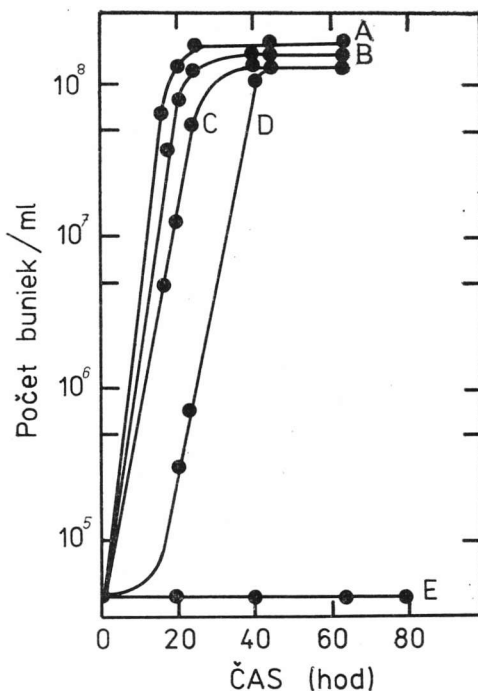
## 2. Biologické membrány ako miesto účinku amínoxidov

Rast kvasiniek *Saccharomyces cerevisiae* v tekutom glukózovom médiu bol úplne inhibovaný 0,5 mM 4-dodecylmorpholin-N-oxidom. Amínoxid v nižších koncentráciách (0,5—0,3 mM) spôsoboval lag v rastovej krivke a mierne znižoval rastové výťažky v stacionárnej fáze (obr. 3). Za týchto podmienok sme nepozorovali zvýšenie tvorby respiračne-deficitných mutantov testovaných zalievacou technikou s trifenyltetrazoliumchloridom [15].

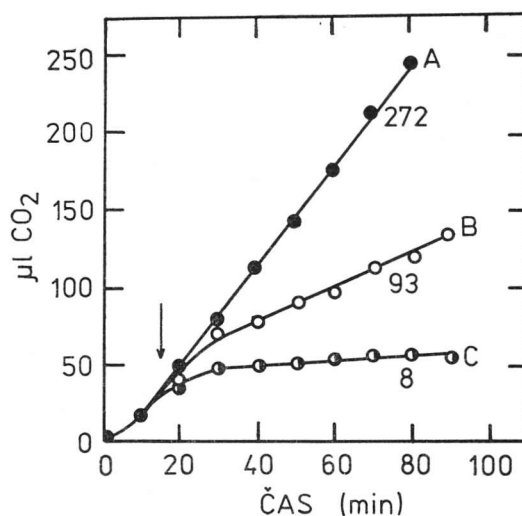
Štúdiom vplyvu amínoxidu na energetické mechanizmy celých buniek kvasiniek sme zistili, že 4-dodecylmorpholin-N-oxid je schopný úplne inhibovať anaeróbnu glykolýzu (obr. 4). Avšak na druhej strane reakčné rýchlosťi niektorých glykolytických enzymov testovaných *in vitro* (aldoláza, glyceraldehyd-3-fosfátdehydrogenáza, fosfoglycerátkináza, triózofosfát izomeráza, glycerol-dehydrogenáza a laktátdehydrogenáza) neboli významne ovplyvnené 1 mM 4-dodecylmorpholin-N-oxidom.

Aj oxidácia glukózy kvasinkovými bunkami (obr. 5) bola inhibovaná 4-dodecylmorpholin-N-oxidom. Za prítomnosti 1 mM amínoxidu sme nepozorovali spotrebu kyslíka bunkami bez ohľadu na to, či substrátom bola glukóza alebo etanol. V súlade s týmito zisteniami izolované kvasinkové mitochondrie za prítomnosti amínoxidu neboli schopné oxidovať citrát, jantaran, TMPD + + askorbát a ich ATPázová aktivita (tab. 3) bola inhibovaná v podobnom rozsahu ako s oligomycínom, ktorý je známym inhibítormem membránne viazanej mitochondriálnej ATPázy [16].

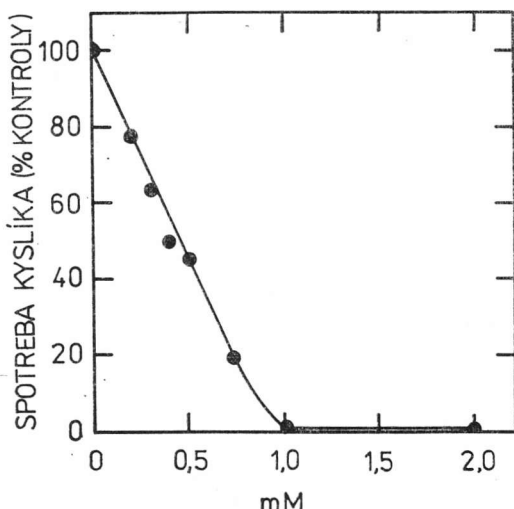
Interakcia kvasinkových buniek počas 5 minút s 0,5 mM 4-dodecylmorpholin-N-oxidom spôsobila stratu ich životaschopnosti (prežitie 0 %). Za podobných



Obr. 3. Vplyv 4-dodecylmorpholin-N-oxudu na rast kvasiniek *S. cerevisiae* v tekutom semisyntetickom médiu s 0,5 % glukózou. A — bez inhibítora, B — 0,05 mM amínoxid, C — 0,2 mM amínoxid, D — 0,3 mM amínoxid, E — 0,5 mM amínoxid.



Obr. 4. Vplyv dodecylmorpholin-N-oxudu na fermentáciu buniek kvasiniek. V čase označenom šípkou bol pridaný amínoxid z bočného ramena. Čísla pri krivkách udávajú hodnoty  $Q_{N_2}^{CO_2}$ . A — bez inhibítora, B — 0,5 mM amínoxid, C — 1,0 mM amínoxid.



Obr. 5. Vplyv 4-dodecylmorpholin-N-oxida na respiračnú aktivitu buniek kvasiniek.

Tabuľka 3. Vplyv 4-dodecylmorpholin-N-oxida na respiráciu a aktivitu ATPázy izolovaných mitochondrií kvaseniek

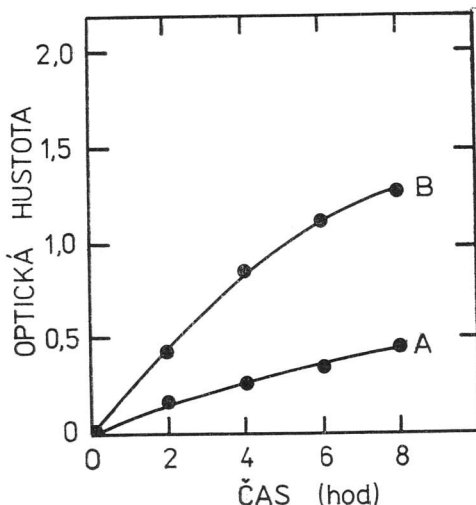
Inhibítorm	Vlastnosti	
Amínoxid	Respiračná aktivita	
0,1 mM	substrát	% inhibície
0,5 mM	10 mM citrát	0
1,0 mM	10 mM citrát	88,1
1,0 mM	10 mM citrát	100,0
1,0 mM	10 mM jantaran	100,0
	0,2 mM TMPD* + 3 askorbát	98,0
Amínoxid	Aktivita ATPázy (% inhibície)	
0,2 mM		39,0
0,5 mM		69,0
Oligomyein		71,5
40 µg/mg bielkovín		

\* TMPD — N, N, N', N', tetrametyl-p-fenyléndiamín.

podmienok amínoxid spôsobil výrazné zmeny v permeabilite cytoplazmatickej membrány kvasiniek, čo malo za následok rýchlu stratu intracelulárneho K<sup>+</sup> (tab. 4). Rozsah vyplavenia K<sup>+</sup> bol porovnatelný s rozsahom spôsobeným candididínom [17]. Bunky kvasiniek inkubované s amínoxidom (0,5—2,0 mM) dlhší čas (2—8 hodín) uvoľnili aj látky absorbujúce pri 280 nm, čo naznačuje vážne poškodenie zasiahnutých buniek (obr. 6).

Tabuľka 4. Uvoľňovanie intracelulárneho draslika z buniek kvasiniek v prítomnosti 4-dodecylmorpholín-*N*-oxidu

Inhibítorm	Obsah K <sup>+</sup> v bunkách ( $\mu\text{g K}^+/\text{mg sušiny}$ )		
	0 min	10 min	20 min
—	25,2	25,0	24,5
1 mM amínoxid	25,2	1,8	1,1
2 mM amínoxid	25,2	1,1	1,1

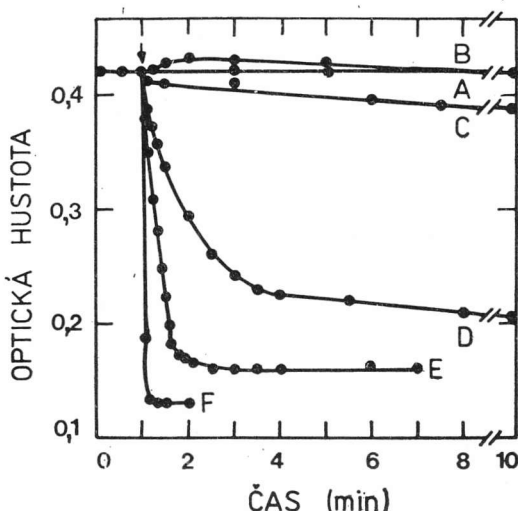


Obr. 6. Uvoľnenie UV-absorbujúceho materiálu z buniek kvasiniek vplyvom 4-dodecylmorpholín-*N*-oxidu. A — 0,5 mM amínoxid, B — 2,0 mM amínoxid.

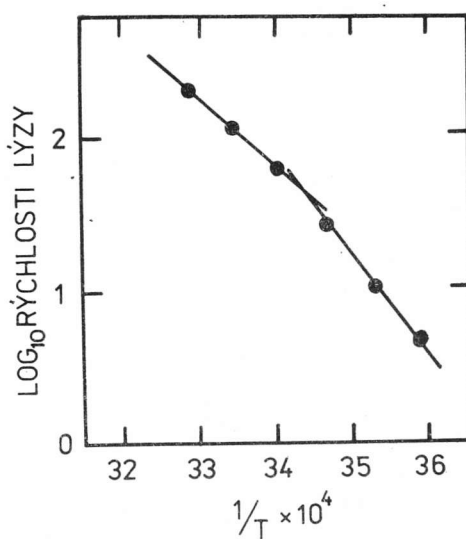
Rozrušenie štruktúry membrán amínoxidmi sa výraznejšie prejavilo s protoplastmi kvasiniek. Vplyv rozličných koncentrácií 4-dodecylmorpholín-*N*-oxidu na stabilitu protoplastov kvasiniek uvádzajú obr. 7. Zistili sme, že rýchlosť a rozsah lysisy protoplastov sú funkciou relatívnej koncentrácie amínoxidu. Väčšie zmeny v rozsahu lysisy protoplastov sme pozorovali nad 0,5 mM koncentráciou amínoxidu, čo je dobrá zhoda s letálnymi koncentráciami 4-dodecylmorpholín-*N*-oxidu, zistenými pre vegetatívne bunky baktérií a kvasiniek. Rýchlosť lysisy protoplastov spôsobenej amínoxidmi závisela od teploty. Cytolytická aktivita 4-dodecylmorpholín-*N*-oxidu (0,5 mM) pri 5 °C bola 55-krát nižšia ako pri 30 °C. Údaje cytolytickej aktivity 4-dodecylmorpholín-*N*-oxidu, podrobenej kinetickej analýze (Arrheniusove krivky) ukazujú zlom v lineárnej závislosti cytolytickej aktivity od teploty pri 16—20 °C (obr. 8), čo môže byť vo vzťahu k tepelne indukovaným fázovým zmenám membránových lipidov [18].

Indukované zmeny v štruktúre biologických membrán vyvolané 4-dodecylmorpholín-*N*-oxidom sa zdajú byť takto primárne zodpovedné za antimikróbnu aktivitu tohto amínoxidu. Ako sa ukázalo, tieto zmeny doprevádzajú zmenu

permeability cytoplazmatickej membrány, inhibícia energetického metabolizmu, lýza a usmrtenie buniek.



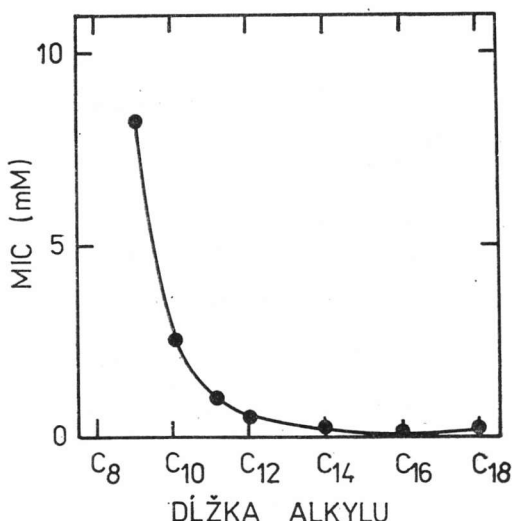
Obr. 7. Lýza osmoticky stabilizovaných protoplastov indukovaná rozličnými koncentráciami 4-dodecylmorpholin-N-oxidu. Amínoxid bol pridaný v čase označenom šípkou. A — kontrola, B — 0,1 mM amínoxid, C — 0,3 mM amínoxid, D — 0,5 mM amínoxid, E — 0,7 mM amínoxid, F — 1,0 mM amínoxid.



Obr. 8. Arrheniova krivka cytolytickej aktivity 0,5 mM 4-dodecylmorpholin-N-oxidu. Rýchlosť lýzy protoplastov sa vyjadrila ako  $\Delta$  OD/min  $\times 10^3$ .

### 3. Vzájomný vzťah medzi chemickou štruktúrou amínoxidov a ich antimikróbou a cytolytickou aktivitou

Na doplnenie štúdií o spôsobe účinku, ako aj na zistenie nevyhnutných a rozhodujúcich funkčných skupín, ovplyvňujúcich aktivitu amínoxidov, študovali sme vzájomný vzťah medzi štruktúrou a biologickou aktivitou amínoxidov, a to v sérii 4-alkylmorpholín-N-oxidov, v ktorých alkylová skupina obsahovala rozličný počet atómov uhlíka, ako aj so skupinou štruktúrne odlišných amínoxidov, obsahujúcich ten istý alkylový retazec (obr. 1).



Obr. 9. Závislosť antimikrobiálnej aktivity 4-alkylmorpholín-N-oxidu od dĺžky retazca hydrofóbnej alkylovej skupiny. MIC — minimálna koncentrácia amínoxidu inhibujúca rast buniek kvasiniel v semisyntetickom médiu.

Obrázok 9 ukazuje, že antimikróbna aktivita vyjadrená ako minimálna koncentrácia amínoxidu, zabraňujúca rastu kvasiniel v tekutom semisyntetickom médiu, zvyšuje sa s rastúcim alkylom, dosahujúc maximum pre 4-hexadecylmorpholín-N-oxid. Vplyv 4-oktadecylmorpholín-N-oxidu bol o niečo nižší pravdepodobne v dôsledku jeho zníženej rozpustnosti vo vode. 4-alkylmorpholín-N-oxidy obsahujúce alkylový retazec kratší než C<sub>12</sub> boli menej účinné, s minimálnymi inhibičnými koncentráciami väčšími než 10 mM pre heptyl a viac ako 40 mM pre hexyl a butyl. Kvalitatívne podobné výsledky sme získali aj pre homolognu sériu 1-alkylpiperidín-N-oxidov.

Vplyv 4-alkylmorpholín-N-oxidov pri inhibícii rastu buniek odpovedal ich cytolytickým aktivitám, ktoré sa merali s protoplastmi kvasiniel. Opäť význačne nižšie cytolytické aktivity sme zistili pre amínoxidy obsahujúce skupinu alkylu kratšiu ako C<sub>12</sub>. Maximum aktivity sme stanovili pre 4-hexadecylmorpholín-N-oxid (tab. 5).

Obmena štruktúry heterocyklického kruhu testovaných amínoxidov už nemala taký prenikavý vplyv na zmenu ich aktivity. Na základe štúdia vplyvu

Tabuľka 5. Závislosť cytolytickej aktivity 4-alkylmorfolín-N-oxidu od dĺžky retazca hydrofóbnej alkylovej skupiny

Amínoxid	Minimálna koncentrácia indukujúca totálnu lýzu protoplastov kvasiniek (mM)
4-decylmorfolín-N-oxid	10,0
4-dodecylmorfolín-N-oxid	0,5
4-tetradecylmorfolín-N-oxid	0,15
4-hexadecylmorfolín-N-oxid	0,07

rozličných koncentrácií amínoxidov na rast buniek kvasiniek a lýzu ich protoplastov bolo možné zostaviť toto poradie amínoxidov podľa ich rastúcich aktivít: *N,N*-dimetyldodecylamín-N-oxid, 4-dodecylmorfolín-N-oxid, 1-dodecylpyrrolidín-N-oxid, 1-dodecylpiperidín-N-oxid a 1-dodecylperhydroazepín-N-oxid (tab. 6).

Tieto výsledky naznačujú, že biologická aktivita testovaných amínoxidov výrazne závisí od dĺžky retazca hydrofóbneho alkylu, pričom ju iba mierne ovplyvňujú ostatné substituenty polarizovanej N→O skupiny.

Tabuľka 6. Biologická aktivita rozličných dodecylamínoxidov

Amínoxid	Mimimálne koncentrácie	
	inhibujúce rast buniek kvasiniek (mM)	indukujúce totálnu lýzu protoplastov (mM)
1-dodecylperhydroazepin-N-oxid	0,2	0,1
1-dodecylpiperidín-N-oxid	0,4	0,2
1-dodecylpyrrolidín-N-oxid	0,4	0,3
4-dodecylmorfolín-N-oxid	0,4	0,5
<i>N,N</i> -dimetyldodecylamín-N-oxid	0,6	0,4

### Diskusia

Výsledky práce demonštrujú mnohé efekty niektorých nasýtených heterocyklických alkylamínoxidov na rast a metabolizmus baktérií, vláknitých hub a kvasiniek. Vyplýva z nich, že antimikróbna aktivita týchto amínoxidov súvisí s ich interakciou s biologickými membránami. Ako výsledok tejto interakcie, ktorá môže byť limitovaná bunkovou stenou mikrobiálnych spór, ako aj niektorých vegetatívnych buniek, mení sa štruktúra a permeabilita bunkových membrán a inhibujú sa procesy závislé od membrány, čo nakoniec vedie k úhybu buniek.

Tieto závery silne podporujú i výsledky, demonštrujúce amínoxidmi indukované uvoľňovanie K<sup>+</sup> z buniek kvasiniek, ako aj lýza osmoticky stabilizovaných protoplastov kvasiniek. Strata intracelulárneho K<sup>+</sup> môže viest k inhi-

bíci glykolýzy a pravdepodobne aj iných procesov v bunke, ktoré závisia od energie, čo pozorovali Gale a spol. [19] s niektorými látkami, ovplyvňujúcimi štruktúru membrán. Poškodenie membránových funkcií amínoxidmi sa jasne demonstrovalo aj s izolovanými mitochondriami kvasiniek. Je dobre známe, že štruktúra a funkcia mitochondrií veľmi tesne navzájom súvisia. Nezaráza preto, že po interakcii 4-dodecylmorfolín-N-oxidu s izolovanými mitochondriami kvasiniek, boli tieto organely neschopné oxidovať viaceré substráty poskytujúce elektróny rozličným segmentom respiračného reťazca a aktivita ich ATPáz bola silne inhibovaná.

Pokusy korelovať chemickú štruktúru amínoxidov s ich biologickými aktivitami ukázali, že prítomnosť vhodne dlhého reťazca hydrofóbneho alkylu na polarizovanej N→O skupine je nevyhnutná pre antimikróbnu a cytolytickú aktivitu týchto zlúčenín. Amínoxidy obsahujúce tieto dve chemické skupiny, sú povrchovo aktívne a vykazujú v kyslých roztokoch kationoidnú aktivitu [2, 5]. Tieto vlastnosti uľahčujú absorbciu a penetráciu amifilných molekúl amínoxidov do membrán, indukujúc potom zmeny v ich molekulárnej organizácii, čo vedie k zmene permeability a osmotickej rovnováhy, zapríčňujúc tak smrť buniek. Zmeny fyzikálnych vlastností membrán môžu závisieť od fázových premien membránových lipidov [20], čo by mohlo vyplývať aj z pozorovanej závislosti amínoxidmi indukowanej lysisy kvasinkových protoplastov od teploty. Hoci sa vplyv 4-dodecylmorfolín-N-oxidu in vitro na aktivitu niektorých glykolytických enzymov nepozoroval, nemožno vylúčiť možnosť denaturujúceho a solubilizujúceho účinku amínoxidov na niektoré membránové bielkoviny.

## Súhrn

Študovala sa antimikróbna aktivita a spôsob účinku heterocyklických N-alkylamínoxidov. Zistilo sa, že 4-dodecylmorfolín-N-oxid inhiboval diferenciáciu ako aj rast rozličných druhov baktérií, vláknitých húb a kvasinky *S. cerevisiae*. Účinok 4-dodecylmorfolín-N-oxidu na vegetatívne bunky baktérií a húb bol letálny. Bunky kvasiniek *S. cerevisiae* po interakcii s 4-dodecylmorfolín-N-oxidom stratili intracelulárny K<sup>+</sup> a neboli schopné skvasovať ani oxidovať glukózu. Izolované mitochondrie v prítomnosti 4-dodecylmorfolín-N-oxidu neoxidovali jantaran, citrát, TMPD + askorbát a ich ATPázová aktivita bola silne inhibovaná. Protoplasty kvasiniek v osmoticky stabilizovaných médiách za prítomnosti rast inhibujúcich koncentrácií 4-dodecylmorfolín-N-oxidu lyzovali. Rýchlosť lysisy protoplastov závisela od teploty a koncentrácie pridaného 4-dodecylmorfolín-N-oxidu.

Výraznú antimikróbnu aktivitu vykazovali aj deriváty amínoxidov štruktúrou podobné 4-dodecylmorfolín-N-oxidu. V homológnej sérii 4-alkylmorfolín-N-oxidov, obsahujúcich alkylový postranný reťazec o rozličnej dĺžke, antimikróbna a cytolytická aktivita vzrástala s rastúcou dĺžkou alkylu. Kým zmena dĺžky alkylu výrazne vplývala na biologickú aktivitu študovaných amínoxidov, zmena štruktúry heterocyklického kruhu sa už tak výrazne neprejavovala. V sérii amínoxidov obsahujúcich rovnaký alkyl (C<sub>12</sub>), antimikróbna a cytolytická aktivita mierne vzrástali v poradí: 4-dodecylmorfolín-

-N-oxid, 1-dodecylpyrimidín-N-oxid, 1-dodecylpiperidín-N-oxid, 1-dodecylperhydroazepín-N-oxid.

Získané výsledky indikujú, že dezorganizácia membránových štruktúr mikroorganizmov po ich interakcii s amínoxidmi je primárne zodpovedná za ich antimikróbnu aktivitu.

## Literatúra

1. CULVENOR, C. C. J.: Rev. pure and appl. Chem., 3, 1953, s. 83.
2. LINTON, E. P.: J. Amer. Chem. Soc., 62, 1940, s. 1945.
3. TAKÁCSOVÁ, G. — ŠUBÍK, J.: Bull. výsk. Úst. potr. (v tlači).
4. BICKEL, M. H.: Pharmacol. Rev., 21, 1969, s. 325.
5. LINDNER, K.: Tenside, 1, 1964, s. 112.
6. OCHIAI, E.: Aromatic Amine Oxides. Amsterdam, Elsevier 1967, 456 s.
7. SWISHER, R. D.: J. Amer. Oil Chemists' Soc., 40, 1963, s. 648.
8. DECHEZLEPRETRE, S. — PORTER, R. — CHEYMOL, J.: Med. Pharmacol. exp., 16, 1967, s. 529.
9. VRBOVSKÝ, L.: Excerp. med., XV, Int. Congr. Ser. 311, 1973, 331 s.
10. KLEINZELLER, A. — MÁLEK, I. — VRBA, R.: Manometrické metody a jejich použití v biologii a biochemii. Praha, Stát. zdrav. nakl. 1954.
11. BERGMAYER, H. V.: Methods of Enzymatic Analysis. New York — London, Academic Press 1965.
12. JACOBS, E. E. — JACOB, M. — SANADI, D. R. — BRADLEY, L. B.: J. Biol. Chem., 223, 1956, s. 147.
13. SUMNER, J. B.: Science, 100, 1944, s. 413.
14. HAMPL, B.: Potravinárská mikrobiologie. Praha, SNTL — Bratislava, Alfa 1968.
15. OGUR, M. — ST. JOHN, R. — NAGAI, S.: Science, 125, 1957, s. 928.
16. ŠUBÍK, J. — KUŽELA, Š. — KOLAROV, J. — KOVÁČ, L. — LACHOWICZ, T. M.: Biochim. biophys. Acta, 205, 1970, s. 513.
17. LIRAS, P. — LAMPEN, J. O.: Biochim. biophys. Acta, 372, 1974, s. 141.
18. RAISON, J. K.: V: Avery J. (ed.), Membrane Structure and Mechanism of Biological Energy Transduction. London — New York, Plenum Press 1974, 559 s.
19. GALE, E. F. — CUNDLIFE, E. — REYNOLDS P. E. — RICHMOND, M. H. — WARING, M. J.: The Molecular Basis of Antibiotic Action. London, Wiley and Sons, 1972.
20. HELENIUS, A. — SIMONS, K.: Biochim. biophys. Acta, 415, 1975, s. 29.

Шубик, Ю. — Такачева, Г.

Воздействие гетероциклических окиселов н-алкиламинов на рост и обмен веществ микробиальных клеток

## Выводы

Изучалась антимикробная активность и влияние гетероциклических окиселов н-алкиламинов. Установлено, что н-додецилморфолин-Н-окисел ингибировал дифференциацию и рост различных видов бактерий, фиброзных грибов и дрожжей *S. cerevisiae*. Действие 4-додецилморфолин-Н-окисела на вегетативные клетки бактерий и грибов было летальное. Клетки дрожжей *S. cerevisiae* после взаимодействия с 4-додецилморфолин-Н-окиселом потеряли внутриклеточный  $K^+$  и не были способны ни сбраживать ни окислять глюкозу. Изолированные митохондрии в присутствии 4-додецилморфолин-Н-окисела не окисляли сукцинат, цитрат, TMPD+ аскорбат и их

активность АТР была сильно ингибирана. Протопласты дрожжей в осмотически стабилизованных средах в присутствии концентраций 4-додецилморфолин-окисела, ингибирующих рост, лизировали. Скорость лизы протопластов зависела от температуры и концентрации добавленного Н-додецилморфолин-Н-окисела.

Значительную antimикробную активность обнаруживали также производные окиселов аминов структурно похожих на 4-додецилморфолин-Н-окисел. В гомологической серии 4-алкилморфолин-Н-окиселов, содержащих алкиловую боковую цепь различной длины, antimикробная и цитолитическая активность возрастала с возрастающей длиной алкила. Пока изменение длины алкила значительно влияло на биологическую активность изучаемых окиселов аминов, изменение структуры гетероциклического кольца уже так выразительно не проявлялось. В серии окиселов аминов, содержащих одинаковый алкил( $C_{12}$ ) antimикробная и цитолитическая активность слегка возрастали в последовательности: 4-додецилморфолин-Н-окисел, 1-додецилпирролидин-Н-окисел, 1-додецилпиперидин-Н-окисел, 1-додецилпергидроазепин-Н-окисел.

Полученные результаты показывают, что дезорганизация мембранных структур микроорганизмов после взаимодействия с окиселами аминов первично ответственна за их antimикробную активность.

Šubík, J. — Takáčsová, G.

## Effect of heterocyclic N-alkyl amine oxides on the growth and metabolism of microbial cells

### Summary

The antimicrobial activity and mode of action of heterocyclic *N*-alkyl amine oxides has been studied. It was found that 4-dodecylmorpholine-N-oxide inhibited the differentiation and growth of different species of bacteria, filamentous fungi and of the yeast *S. cerevisiae*.

For vegetative cells, the effect of 4-dodecylmorpholine-N-oxide was lethal. Cells of *S. cerevisiae*, after interaction with 4-dodecylmorpholine-N-oxide, released intracellular  $K^+$  and were unable to oxidize or ferment glucose. The isolated mitochondria in the presence of 4-dodecylmorpholine-N-oxide were not able to oxidize succinate, citrate, TMPD plus ascorbate and their ATPase activity was strongly inhibited. 4-Dodecylmorpholine-N-oxide at growth inhibiting concentrations induced rapid lysis of osmotically stabilized yeast protoplasts, with the rate of lysis a function of temperature and of amine oxide concentration.

Derivatives of amine oxides structurally similar to 4-dodecylmorpholine-N-oxide also exhibited significant antimicrobial activity. Antimicrobial and cytolytic activity in homologous series of 4-alkylmorpholine-N-oxides was increasing with the chain length of the side alkyl. While the biological activity of studied amine oxides was significantly dependent on the length of the alkyl, the change in the structure of heterocycle only moderately influenced it. In series of amine oxides containing the same alkyl ( $C_{12}$ ) antimicrobial and cytolytic activity was slightly increasing in the order: 4-dodecylmorpholine-N-oxide, 1-dodecylpyrrolidine-N-oxide, 1-dodecylpiperidine-N-oxide, 1-dodecylperhydroazepine-N-oxide.

The results indicate that disorganization of the membrane structure after interaction of microorganisms with the tested amine oxides was primarily responsible for their antimicrobial activity.